

УДК 539.3:534.1

©2009. В.И. Сторожев, Н.В. Щербак

## АНАЛИЗ НЕЛИНЕЙНЫХ АНГАРМОНИЧЕСКИХ ВОЗМУЩЕНИЙ ДЛЯ УПРУГИХ SH-ВОЛН, ЛОКАЛИЗОВАННЫХ В КРИСТАЛЛИЧЕСКОМ СЛОЕ МЕЖДУ АНИЗОТРОПНЫМИ ПОЛУПРОСТРАНСТВАМИ

На основе модели геометрически и физически нелинейного деформирования анизотропной упругой среды кубической системы, базирующей на представлениях упругого потенциала с квадратичными и кубическими членами по деформациям, а также с использованием приема разложения функции волновых смещений в ряды по акустическому числу Маха, построены аналитические представления нелинейных вторых гармоник упругих SH-волн для волновода в виде монокристаллического слоя, заключенного между однотипными или разнотипными анизотропными полупространствами. Проведены численно-аналитические исследования нелинейных волновых эффектов для волновода в виде слоя монокристалла германия, расположенного между полупространствами из монокристалла кремния, а также для волновода в виде слоя хлорида натрия, заключенного между полупространствами из монокристаллов кремния и германия. Ближайшим исследованным аналогом по рассматриваемой проблеме является задача о нелинейных ангармонических эффектах при распространении обобщенных волн Лява в структуре "слой монокристалла кубической системы на анизотропном упругом полупространстве аналогичного класса симметрии". Отдельные результаты ее анализа отражены в публикациях [2–4].

**Постановка задачи.** Исследуемая волноводная структура отнесена к системе нормированных прямоугольных координат, в которой слой занимает область  $V_1 = \{-\infty < x_1, x_2 < \infty, -h \leq x_3 \leq h\}$ , а полупространства – области  $V_2 = \{-\infty < x_1, x_2 < \infty, -\infty < x_3 < -h\}$  и  $V_3 = \{-\infty < x_1, x_2 < \infty, h < x_3 < \infty\}$ . Физико-механические свойства компоненты волновода  $V_p$  характеризуются матричными упругими постоянными второго порядка  $c_{ij}^{(p)}$ , третьего порядка  $c_{ijk}^{(p)}$  и плотностью  $\rho^{(p)}$ . Кристаллографические направления материалов слоя и полупространств являются коллинеарными. В зонах контакта слоя  $V_1$  с полупространствами  $V_2, V_3$  выполняются условия идеального механического контакта.

Для анализа нелинейных ангармонических эффектов при распространении локализованных SH волн вдоль координатного направления  $Ox_1$  используется модель физически и геометрически нелинейного динамического деформирования упругого монокристаллического материала класса m3m кубической системы, базирующаяся на представлении упругого потенциала  $U$  в форме

$$U = \frac{1}{2}c_{jqrk}\varepsilon_{jq}\varepsilon_{rk} + \frac{1}{6}c_{jqrklm}\varepsilon_{jq}\varepsilon_{rk}\varepsilon_{lm} \quad (j, q, r, k, l, m = \overline{1, 3}) \quad (1)$$

и нелинейных представлениях компонент тензора механических деформаций

$$\varepsilon_{jk} = \frac{1}{2}(u_{l,k} + u_{k,j} + u_{l,j}u_{l,k}), \quad (2)$$

в которых  $u_{r,k} = \partial u_r / \partial x_k$ ,  $u_r$  компоненты вектора волновых упругих перемещений.

Соответствующие такому выбору упругого потенциала безразмерные нормированные компоненты тензора механических напряжений  $\sigma_{jd}$  представляются суммой линейных и нелинейных составляющих

$$\sigma_{jd} = \sigma_{jd}^{(l)} + \sigma_{jd}^{(n)}, \quad (3)$$

где

$$\sigma_{jd}^{(l)} = c_{jdrk} u_{r,k}, \quad \sigma_{jd}^{(n)} = \frac{1}{2} c_{jdrk} u_{l,r} u_{l,k} + c_{pdrk} u_{j,p} u_{r,k} + \frac{1}{2} c_{jdrklm} u_{r,k} u_{l,m}. \quad (4)$$

Уравнения движения для образующих рассматриваемую волноводную структуру упругих сред при отсутствии объемных сил можно представить в тензорном виде

$$\rho \ddot{u}_j^{(p)} - \sigma_{jd,d}^{(p,l)} = \sigma_{jd,d}^{(p,n)}, \quad (j = \overline{1,3}). \quad (5)$$

В представлениях (5) и последующих соотношениях верхний индекс  $p$  у характеристик напряженно-деформированного состояния указывает на то, что соответствующая характеристика относится к компоненте  $V_p$  рассматриваемого волновода. Используемый в данной работе распространенный подход заключается в отыскании нелинейных "добавок-возмущений" в представлениях функций волновых упругих смещений, которые пропорциональны малому параметру – акустическому числу Маха  $\delta$  [1].

$$u_j = u_j^{(l)} + u_j^{(n)}. \quad (6)$$

**Построение численно-аналитического решения.** В рассматриваемой задаче о распространении обобщенных линейных сдвиговых волн в структуре "слой монокристалла класса m3m кубической системы между полупространствами из монокристаллов аналогичного класса кубической системы" комплексные вектор-функции линейных волновых перемещений  $\vec{u}^{(p,l)}$  характеризуются единственной ненулевой компонентой  $u_2^{(p,l)}$ .

Линейные составляющие исследуемого волнового поля определяются, таким образом, из однородной спектральной краевой задачи

$$\sigma_{2j,j}^{(p,l)} - \rho_p \ddot{u}_2^{(p)} = 0, \quad (p = 1, 3), \quad (7)$$

$$(\sigma_{23}^{(1,l)})_{x_3=-h} = \sigma_{23}^{(2,l)}_{x_3=-h}, \quad (u_2^{(1,l)})_{x_3=-h} = u_2^{(2,l)}_{x_3=-h}, \quad (8)$$

$$(\sigma_{23}^{(1,l)})_{x_3=h} = \sigma_{23}^{(3,l)}_{x_3=h}, \quad (u_2^{(1,l)})_{x_3=h} = u_2^{(3,l)}_{x_3=h},$$

а нелинейные ангармонические возмущения – из неоднородной краевой задачи, имеющей вид

$$(\sigma_{ij,j}^{(p,l)})_{\vec{u}^{(p)} = \vec{u}^{(p,n)}} - \rho_p \ddot{u}_i^{(p,n)} = -(\sigma_{ij,j}^{(p,n)})_{\vec{u}^{(p)} = \vec{u}^{(p,l)}}, \quad (9)$$

$$\begin{aligned}
 u_1^{(2,n)} &= u_1^{(1,n)}, \quad u_3^{(2,n)} = u_3^{(1,n)} \quad \text{при } x_3 = -h, \\
 (\sigma_{3i}^{(1,l)})_{\bar{u}^{(1)}=\bar{u}^{(1,n)}} + (\sigma_{3i}^{(1,n)})_{\bar{u}^{(1)}=\bar{u}^{(1,l)}} &= (\sigma_{3i}^{(2,l)})_{\bar{u}^{(2)}=\bar{u}^{(2,n)}} + (\sigma_{3i}^{(2,n)})_{\bar{u}^{(2)}=\bar{u}^{(2,l)}}; \quad (10) \\
 u_1^{(3,n)} &= u_1^{(1,n)}, \quad u_3^{(3,n)} = u_3^{(1,n)} \quad \text{при } x_3 = h, \\
 (\sigma_{3i}^{(1,l)})_{\bar{u}^{(1)}=\bar{u}^{(1,n)}} + (\sigma_{3i}^{(1,n)})_{\bar{u}^{(1)}=\bar{u}^{(1,l)}} &= (\sigma_{3i}^{(3,l)})_{\bar{u}^{(2)}=\bar{u}^{(2,n)}} + (\sigma_{3i}^{(3,n)})_{\bar{u}^{(2)}=\bar{u}^{(2,l)}}.
 \end{aligned}$$

Задача с рассматриваемой общей постановкой (7)–(10) имеет следующие частные случаи:

- случай распространения волн с симметричным распределением колебательных перемещений по толщине слоя, заключенного между полупространствами с одинаковыми физико-механическими характеристиками;
- случай распространения волн с антисимметричным распределением колебательных перемещений по толщине слоя, заключенного между полупространствами с одинаковыми физико-механическими характеристиками;
- случай распространения волн в слое, заключенном между полупространствами с отличающимися физико-механическими характеристиками.

В первом частном варианте постановки из решений спектральной задачи (7), (8) вытекают следующие, содержащие нормированный безразмерный амплитудный параметр  $u_2^{(0)}$ , представления для комплексных функций волновых перемещений  $u_2^{(p,l)}$  в линейных локализованных SH волнах и соответствующие дисперсионные соотношения:

$$\begin{aligned}
 \alpha^{(j)} &= ((-c_{44}^{(j)}k^2 + \rho_j\omega^2)/c_{44}^{(j)})^{\frac{1}{2}}, \\
 u_2^{(1,l)} &= e^{-i(\omega t - kx_1)} u_2^{(0)} e^{i\alpha^{(2)}h} \cos(\alpha^{(1)}x_3) / \cos(\alpha^{(1)}), \\
 u_2^{(2,l)} &= u_2^{(0)} e^{-i\alpha^{(2)}x_3} e^{-i(\omega t - kx_1)}, \\
 u_2^{(3,l)} &= u_2^{(0)} e^{i\alpha^{(2)}x_3} e^{-i(\omega t - kx_1)}, \\
 tg(\alpha^{(1)}) &= -(ic_{44}^{(2)}\alpha^{(2)}) / (c_{44}^{(1)}\alpha^{(1)}),
 \end{aligned} \quad (11)$$

где  $\omega$  и  $k$  – соответственно круговая частота и нормированное волновое число локализованной линейной SH-волны. При втором и третьем частных вариантах постановки аналогичные представления имеют вид:

$$\begin{aligned}
 u_2^{(1,l)} &= e^{-i(\omega t - kx_1)} u_2^{(0)} e^{i\alpha^{(2)}h} \sin(\alpha^{(1)}x_3) / \cos(\alpha^{(1)}), \\
 u_2^{(2,l)} &= u_2^{(0)} e^{-i\alpha^{(2)}x_3} e^{-i(\omega t - kx_1)}, \\
 u_2^{(3,l)} &= -u_2^{(0)} e^{i\alpha^{(2)}x_3} e^{-i(\omega t - kx_1)}, \\
 tg(\alpha^{(1)}) &= -(ic_{44}^{(2)}\alpha^{(2)}) / (c_{44}^{(1)}\alpha^{(1)});
 \end{aligned} \quad (12)$$

$$\begin{aligned}
 u_2^{(1,l)} &= e^{-i(\omega t - kx_1)} (A_1 \cos(\alpha^{(1)} x_3) + B_1 \sin(\alpha^{(1)} x_3)), \\
 u_2^{(2,l)} &= u_2^{(0)} e^{-i\alpha^{(2)} x_3} e^{-i(\omega t - kx_1)}, \\
 u_2^{(3,l)} &= B_3 e^{i\alpha^{(3)} x_3} e^{-i(\omega t - kx_1)},
 \end{aligned} \tag{13}$$

$$\begin{aligned}
 A_1 &= u_2^{(0)} e^{i\alpha^{(2)}} (\alpha^{(1)} c_{44}^{(1)} \cos(\alpha^{(1)}) - i\alpha^{(2)} c_{44}^{(2)} \sin(\alpha^{(1)})) / (\alpha^{(1)} c_{44}^{(1)}), \\
 B_1 &= -u_2^{(0)} e^{i\alpha^{(2)}} (i\alpha^{(2)} c_{44}^{(2)} \cos(\alpha^{(1)}) + \alpha^{(1)} c_{44}^{(1)} \sin(\alpha^{(1)})) / (\alpha^{(1)} c_{44}^{(1)}), \\
 B_3 &= u_2^{(0)} e^{i(\alpha^{(2)} - \alpha^{(3)})} (\alpha^{(1)} c_{44}^{(1)} \cos(2\alpha^{(1)}) - i\alpha^{(2)} c_{44}^{(2)} \sin(2\alpha^{(1)})) / (\alpha^{(1)} c_{44}^{(1)}), \\
 tg(2\alpha^{(1)}) &= -i c_{44}^{(1)} \alpha^{(1)} (c_{44}^{(2)} \alpha^{(2)} + c_{44}^{(3)} \alpha^{(3)}) / ((c_{44}^{(1)} \alpha^{(1)})^2 + c_{44}^{(2)} \alpha^{(2)} c_{44}^{(3)} \alpha^{(3)}).
 \end{aligned}$$

Представление (11)–(13) являются основой для детализированной формулировки задачи поиска соответствующих нелинейных ангармонических возмущений из неоднородной граничной задачи (9), (10), которая имеет вид:

$$\begin{aligned}
 \rho_p \ddot{u}_1^{(p,n)} - c_{11}^{(p)} u_{1,11}^{(p,n)} - c_{44}^{(p)} u_{1,33}^{(p,n)} - \Delta_8^{(p)} u_{3,31}^{(p,n)} &= \Delta_3^{(p)} u_{2,1}^{(p,l)} u_{2,11}^{(p,l)} + \\
 &+ \Delta_6^{(p)} u_{2,1}^{(p,l)} u_{2,33}^{(p,l)} + (\Delta_6^{(p)} + \Delta_7^{(p)}) u_{2,3}^{(p,l)} u_{2,31}^{(p,l)}, \\
 \rho_p \ddot{u}_3^{(p,n)} - c_{11}^{(p)} u_{3,33}^{(p,n)} - c_{44}^{(p)} u_{3,11}^{(p,n)} - \Delta_8^{(p)} u_{1,13}^{(p,n)} &= \Delta_3^{(p)} u_{2,3}^{(p,l)} u_{2,33}^{(p,l)} + \\
 &+ \Delta_6^{(p)} u_{2,3}^{(p,l)} u_{2,11}^{(p,l)} + (\Delta_6^{(p)} + \Delta_7^{(p)}) u_{2,1}^{(p,l)} u_{2,13}^{(p,l)};
 \end{aligned} \tag{14}$$

$$\begin{aligned}
 c_{44}^{(1)} (u_{1,3}^{(1,n)} + u_{3,1}^{(1,n)})_{x_3=-h} - c_{44}^{(2)} (u_{1,3}^{(2,n)} + u_{3,1}^{(2,n)})_{x_3=-h} &= (u_{2,1}^{(2,l)} u_{2,3}^{(2,l)})_{x_3=-h} - (u_{2,1}^{(1,l)} u_{2,3}^{(1,l)})_{x_3=-h}, \\
 (c_{12}^{(1)} u_{1,1}^{(1,n)} + c_{11}^{(1)} u_{3,3}^{(1,n)})_{x_3=-h} - (c_{12}^{(2)} u_{1,1}^{(2,n)} + c_{11}^{(2)} u_{3,3}^{(2,n)})_{x_3=-h} &= \\
 = \frac{1}{2} (\Delta_7^{(2)} (u_{2,1}^{(2,l)})^2 + \Delta_3^{(2)} (u_{2,3}^{(2,l)})^2)_{x_3=-h} - \frac{1}{2} (\Delta_7^{(1)} (u_{2,1}^{(1,l)})^2 + \Delta_3^{(1)} (u_{2,3}^{(1,l)})^2)_{x_3=-h}, \\
 (u_j^{(1,n)})_{x_3=-h} - (u_j^{(2,n)})_{x_3=-h} &= 0 \quad (j = \overline{1, 3}),
 \end{aligned} \tag{15}$$

$$\begin{aligned}
 c_{44}^{(1)} (u_{1,3}^{(1,n)} + u_{3,1}^{(1,n)})_{x_3=h} - c_{44}^{(3)} (u_{1,3}^{(3,n)} + u_{3,1}^{(3,n)})_{x_3=h} &= (u_{2,1}^{(3,l)} u_{2,3}^{(3,l)})_{x_3=h} - (u_{2,1}^{(1,l)} u_{2,3}^{(1,l)})_{x_3=h}, \\
 (c_{12}^{(1)} u_{1,1}^{(1,n)} + c_{11}^{(1)} u_{3,3}^{(1,n)})_{x_3=h} - (c_{12}^{(3)} u_{1,1}^{(3,n)} + c_{11}^{(3)} u_{3,3}^{(3,n)})_{x_3=h} &= \\
 = \frac{1}{2} (\Delta_7^{(3)} (u_{2,1}^{(3,l)})^2 + \Delta_3^{(3)} (u_{2,3}^{(3,l)})^2)_{x_3=h} - \frac{1}{2} (\Delta_7^{(1)} (u_{2,1}^{(1,l)})^2 + \Delta_3^{(1)} (u_{2,3}^{(1,l)})^2)_{x_3=h}, \\
 (u_j^{(1,n)})_{x_3=h} - (u_j^{(3,n)})_{x_3=h} &= 0 \quad (j = \overline{1, 3}).
 \end{aligned}$$

В соотношениях (14), (15) использованы обозначения:

$$\begin{aligned}
 \Delta_1^{(p)} &= 3c_{11}^{(p)} + c_{111}^{(p)}, \Delta_2^{(p)} = c_{12}^{(p)} + 2c_{44}^{(p)} + c_{155}^{(p)}, \Delta_3^{(p)} = c_{11}^{(p)} + c_{155}^{(p)}, \Delta_4^{(p)} = c_{44}^{(p)} + c_{155}^{(p)}, \\
 \Delta_5^{(p)} &= c_{12}^{(p)} + c_{112}^{(p)}, \Delta_6^{(p)} = c_{44}^{(p)} + c_{456}^{(p)}, \Delta_7^{(p)} = c_{12}^{(p)} + c_{144}^{(p)}, \Delta_8^{(p)} = c_{12}^{(p)} + c_{44}^{(p)}.
 \end{aligned}$$

Из (14), (15) априори следует, что вторыми гармониками исследуемых линейных локализованных SH волн будут волны P-SV типа. Компоненты  $u_j^{(p,n)}$  ( $j = 1, 3$ ) комплексного вектора напряженности вторых гармоник для данных линейных волн определяются из соотношений краевой задачи (14), (15) в аналитической форме методами компьютерной алгебры. Они задаются суммой общего решения однородной задачи (14), (15) и ее частного решения и структурно могут быть представлены в форме:

$$\begin{aligned} u_1^{(1,n)} &= (u_2^{(0)})^2 (\tilde{\lambda}_{11} \cos(\zeta_1^{(1)} x_3) + \tilde{\lambda}_{12} \cos(\zeta_2^{(1)} x_3) + \tilde{\mu}_{11} \sin(\zeta_1^{(1)} x_3) + \tilde{\mu}_{12} \sin(\zeta_2^{(1)} x_3) + \\ &\quad + \tilde{\nu}_1 + \tilde{\chi}_1 \cos(2\alpha^{(1)} x_3) + \tilde{\xi}_1 \sin(2\alpha^{(1)} x_3)) \exp(-2i(\omega t - kx_1)), \\ u_3^{(1,n)} &= (u_2^{(0)})^2 (\tilde{\lambda}_{31} \sin(\zeta_1^{(1)} x_3) + \tilde{\lambda}_{32} \sin(\zeta_2^{(1)} x_3) + \tilde{\mu}_{31} \cos(\zeta_1^{(1)} x_3) + \tilde{\mu}_{32} \cos(\zeta_2^{(1)} x_3) + \\ &\quad + \tilde{\nu}_3 + \tilde{\chi}_3 \sin(2\alpha^{(1)} x_3) + \tilde{\xi}_3 \cos(2\alpha^{(1)} x_3)) \exp(-2i(\omega t - kx_1)), \end{aligned} \quad (16)$$

$$\begin{aligned} u_1^{(2,n)} &= (u_2^{(0)})^2 (\tilde{\beta}_{11}^{(2)} \exp(\zeta_1^{(2)} x_3) + \tilde{\beta}_{12}^{(2)} \exp(\zeta_2^{(2)} x_3) + \tilde{\gamma}_1^{(2)} \exp(2i\alpha^{(2)} x_3)) \exp(-2i(\omega t - kx_1)), \\ u_3^{(2,n)} &= (u_2^{(0)})^2 (\tilde{\beta}_{31}^{(2)} \exp(\zeta_1^{(2)} x_3) + \tilde{\beta}_{32}^{(2)} \exp(\zeta_2^{(2)} x_3) + \tilde{\gamma}_3^{(2)} \exp(2i\alpha^{(2)} x_3)) \exp(-2i(\omega t - kx_1)), \\ u_1^{(2,n)} &= (u_2^{(0)})^2 (\tilde{\beta}_{11}^{(3)} \exp(\zeta_1^{(3)} x_3) + \tilde{\beta}_{12}^{(3)} \exp(\zeta_2^{(3)} x_3) + \tilde{\gamma}_1^{(3)} \exp(2i\alpha^{(3)} x_3)) \exp(-2i(\omega t - kx_1)), \\ u_3^{(2,n)} &= (u_2^{(0)})^2 (\tilde{\beta}_{31}^{(3)} \exp(\zeta_1^{(3)} x_3) + \tilde{\beta}_{32}^{(3)} \exp(\zeta_2^{(3)} x_3) + \tilde{\gamma}_3^{(3)} \exp(2i\alpha^{(3)} x_3)) \exp(-2i(\omega t - kx_1)). \end{aligned}$$

Коэффициенты  $\tilde{\lambda}_{ij}$ ,  $\tilde{\mu}_{ij}$ ,  $\tilde{\beta}_{ij}^{(p)}$  в представлении общего решения и коэффициенты  $\nu_i$ ,  $\chi_i$ ,  $\xi_i$ ,  $\gamma_i^{(p)}$  в представлении частного решения получены в аналитической форме методами компьютерной алгебры и имеют крайне громоздкие выражения.

**Результаты численных исследований.** С использованием построенного численно-аналитического решения проведен анализ некоторых кинематических и энергетических характеристик для исследуемых нелинейных вторых гармоник локализованных сдвиговых волн. Представляемые расчеты проведены применительно к

- задаче о распространении волн с симметричным распределением волновых перемещений по толщине слоя  $V_1$  из монокристалла германия, заключенного между полупространствами  $V_2$  и  $V_3$  из монокристалла кремния;
- задаче о распространении волн с антисимметричным распределением волновых перемещений по толщине слоя  $V_1$  из монокристалла германия, заключенного между полупространствами  $V_2$  и  $V_3$  из монокристалла кремния;
- задаче о распространении волн в слое  $V_1$  из монокристалла соли (NaCl), заключенном между полупространством  $V_2$  из монокристалла кремния и полупространством  $V_3$  из монокристалла германия.

Компоненты рассматриваемых составных волноводов характеризуются следующими независимыми физико-механическими постоянными:

монокристалл NaCl –  $c_{11}^{(1)} = 4,958c_*$ ,  $c_{12}^{(1)} = 1,306c_*$ ,  $c_{44}^{(1)} = 1,279c_*$ ,  $c_{111}^{(1)} = -86,36c_*$ ,  
 $c_{112}^{(1)} = -4,96c_*$ ,  $c_{123}^{(1)} = 0,93c_*$ ,  $c_{144}^{(1)} = 1,32c_*$ ,  $c_{456}^{(1)} = 0,71c_*$ ,  $c_{155}^{(1)} = -5,87c_*$ ,  $\rho_1 = 2,1678\rho_*$ ;  
 монокристалл кремния –  $c_{11}^{(2)} = 16,7c_*$ ,  $c_{12}^{(2)} = 7,9c_*$ ,  $c_{44}^{(2)} = 6,5c_*$ ,  $c_{111}^{(2)} = -82,5c_*$ ,  
 $c_{112}^{(2)} = -45,1c_*$ ,  $c_{123}^{(2)} = -6,4c_*$ ,  $c_{144}^{(2)} = 1,2c_*$ ,  $c_{456}^{(2)} = -6,4c_*$ ,  $c_{155}^{(2)} = -31,0c_*$ ,  $\rho_2 = 2,33\rho_*$ ;  
 монокристалл германия –  $c_{11}^{(3)} = 12,92c_*$ ,  $c_{12}^{(3)} = 4,79c_*$ ,  $c_{44}^{(3)} = 6,7c_*$ ,  $c_{111}^{(3)} = -71,0c_*$ ,  
 $c_{112}^{(3)} = -38,9c_*$ ,  $c_{123}^{(3)} = -1,8c_*$ ,  $c_{144}^{(3)} = -2,3c_*$ ,  $c_{456}^{(3)} = -5,3c_*$ ,  $c_{155}^{(3)} = -29,2c_*$ ,  
 $\rho_3 = 5,32\rho_*$ .

Величины параметров  $c_*$ ,  $\rho_*$  составляют  $c_* = 10^{10}$  (N/m<sup>2</sup>),  $\rho_* = 10^3$  (kg/m<sup>3</sup>).

Для сопоставительного анализа нелинейных волновых эффектов в зоне, включающей область слоя  $x_3/h \in [-1; 1]$  и подобласти  $x_3/h \in [-5; -1) \cup (1; 5]$  в полупространствах, рассчитаны распределения по толщинной координате волновода  $x_3$  безразмерных нормированных амплитуд упругих поперечных смещений  $|u_2^{(l)}|/u_2^{(0)}$  в линейных локализованных SH волнах и распределения безразмерных характеристик  $|u_1^{(n)}|/(u_2^{(0)})^2$  и  $|u_3^{(n)}|/(u_2^{(0)})^2$  в их вторых гармониках при значениях относительной длины  $\lambda/h$  линейной волны. При  $\lambda/h = 1$  и  $\lambda/h = 2$  в случае задачи первого типа указанные распределения представлены на рис.1–2; для задачи второго типа на рис.3–4; для задачи третьего типа на рис.5–6.

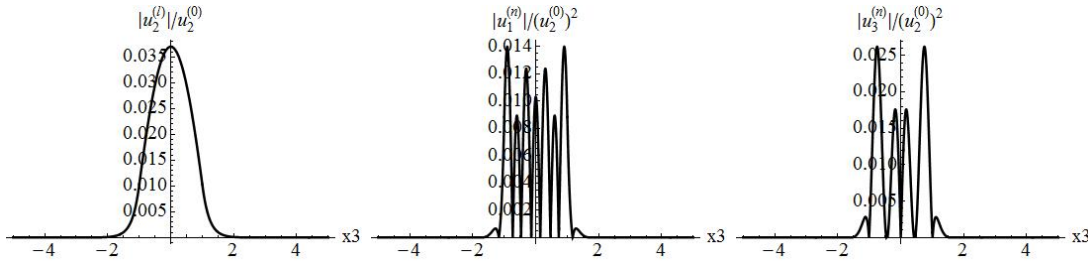


Рис. 1. Распределение нормированных значений  $|u_2^{(l)}|/u_2^{(0)}$ ,  $|u_1^{(n)}|/(u_2^{(0)})^2$ ,  $|u_3^{(n)}|/(u_2^{(0)})^2$  при  $\lambda/h = 1$

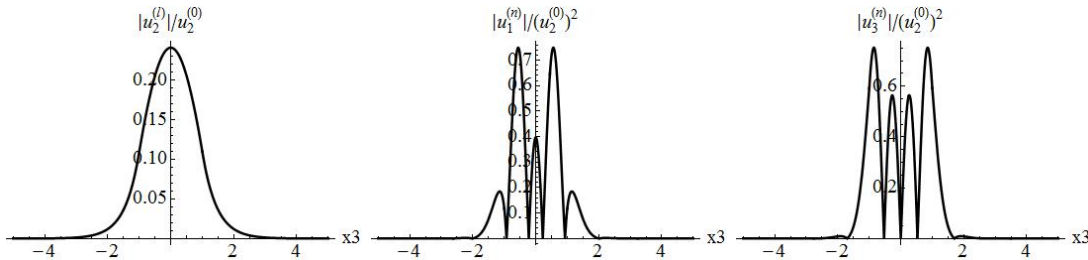


Рис. 2. Распределение нормированных значений  $|u_2^{(l)}|/u_2^{(0)}$ ,  $|u_1^{(n)}|/(u_2^{(0)})^2$ ,  $|u_3^{(n)}|/(u_2^{(0)})^2$  при  $\lambda/h = 2$

Анализ представленных распределений позволяет, в частности, сделать вывод, что для нелинейной второй гармоники локальные максимумы характеристики  $|u_1^{(n)}|/(u_2^{(0)})^2$  находятся в слое  $V_1$  и около границ его контакта с полупространствами. Максимальная интенсивность характеристики  $|u_1^{(n)}|/(u_2^{(0)})^2$  в рассмотренных

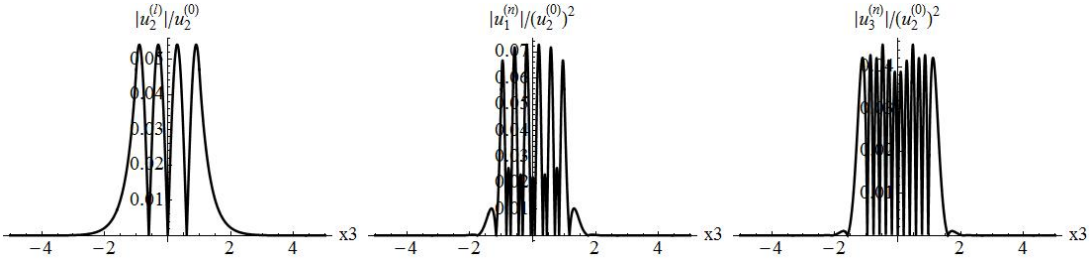


Рис. 3. Распределение нормированных значений  $|u_2^{(l)}|/u_2^{(0)}$ ,  $u_1^{(n)}/(u_2^{(0)})^2$ ,  $u_3^{(n)}/(u_2^{(0)})^2$  при  $\lambda/h = 1$

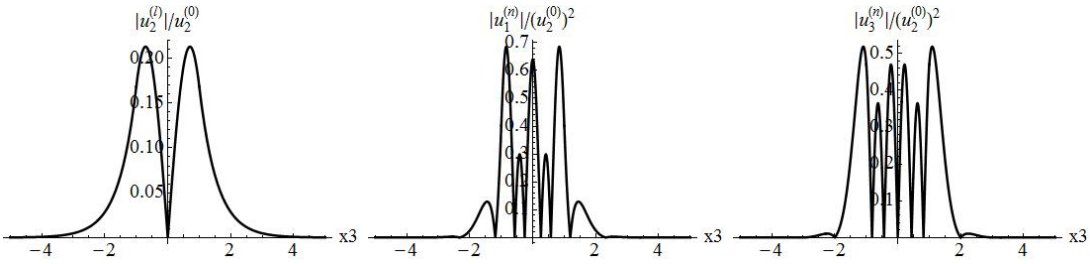


Рис. 4. Распределение нормированных значений  $|u_2^{(l)}|/u_2^{(0)}$ ,  $|u_1^{(n)}|/(u_2^{(0)})^2$ ,  $|u_3^{(n)}|/(u_2^{(0)})^2$  при  $\lambda/h = 2$

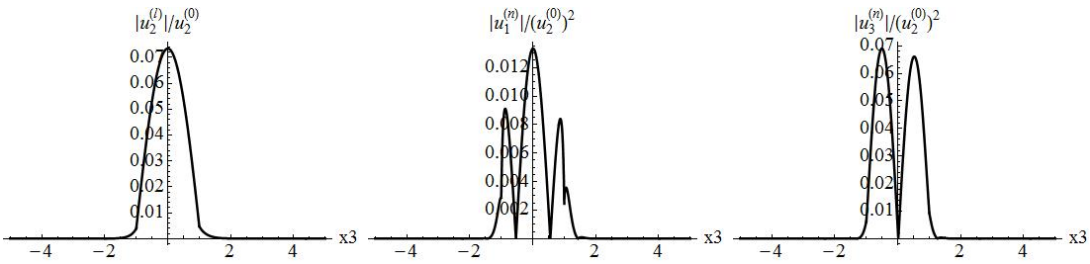


Рис. 5. Распределение нормированных значений  $|u_2^{(l)}|/u_2^{(0)}$ ,  $|u_1^{(n)}|/(u_2^{(0)})^2$ ,  $|u_3^{(n)}|/(u_2^{(0)})^2$  при  $\lambda/h = 1$

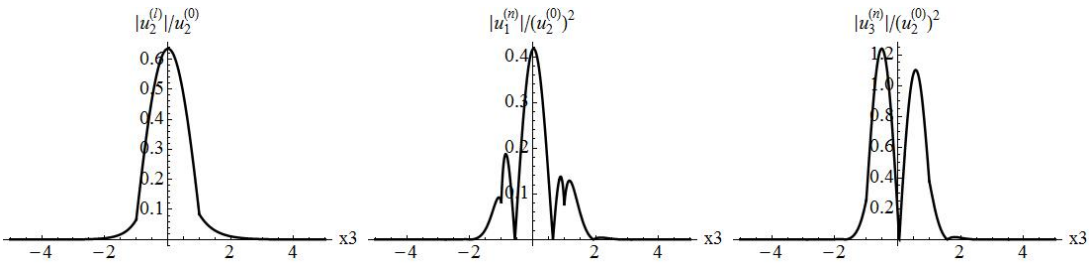


Рис. 6. Распределение нормированных значений  $|u_2^{(l)}|/u_2^{(0)}$ ,  $|u_1^{(n)}|/(u_2^{(0)})^2$ ,  $|u_3^{(n)}|/(u_2^{(0)})^2$  при  $\lambda/h = 2$

случаях немного меньше интенсивности характеристики  $|u_3^{(n)}|/(u_2^{(0)})^2$ . Максимальное значение  $|u_3^{(n)}|/(u_2^{(0)})^2$  достигается в зонах контакта слоя и полупространств при  $x_3 = \pm h$ . Для волноводов всех рассматриваемых типов наблюдается явление высокой степени осцилляции в распределениях интенсивностей  $|u_1^{(n)}|/(u_2^{(0)})^2$  и  $|u_3^{(n)}|/(u_2^{(0)})^2$  в зоне слоя  $V_1$ .

Энергетические эффекты для исследуемых волновых движений охарактеризованы распределениями компонент вектора плотности среднего за период потока мощности

$$P_k = -\frac{i\omega}{4}(\sigma_{jk}\bar{u}_j - \bar{\sigma}_{jk}u_j) \quad (k, j = \overline{1, 3}).$$

Результаты проведенных расчетов нормированных распределений среднего за период потока мощности  $P_1^{(l)}$  в линейных локализованных SH волнах относительной длины  $\lambda/h$  и компоненты потока мощности  $P_1^{(n)}$  для вторых гармоник, соответственно представлены в случаях соотношений  $\lambda/h = 1$ ,  $\lambda/h = 2$  для первой задачи на рис.7–8; для второй задачи на рис.9–10; для третьей задачи на рис.11–12.

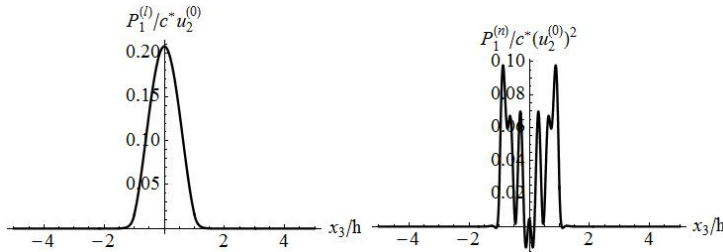


Рис. 7. Распределение нормированных значений  $P_1^{(l)}$ ,  $P_1^{(n)}$  при  $\lambda/h = 1$

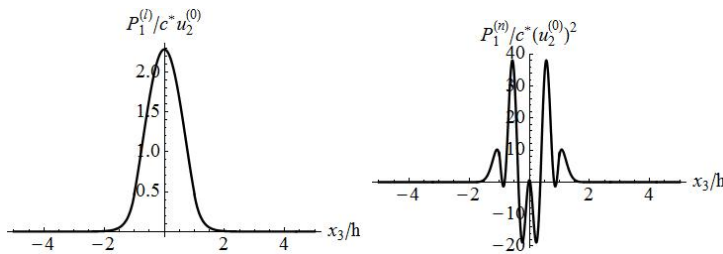


Рис. 8. Распределение нормированных значений  $P_1^{(l)}$ ,  $P_1^{(n)}$  при  $\lambda/h = 2$

В линейных локализованных SH волнах энергетические потоки характеризуются ненулевой компонентой  $P_1^{(l)}$ , которая достигает максимальных значений в слое  $V_1$  и монотонно затухает при отходе вглубь волновода. Потоки мощности для вторых гармоник локализованной SH волны в рассматриваемом волноводе характеризуется единственной ненулевой компонентой  $P_1^{(n)}$ . Расчеты показывают, что амплитуда  $P_1^{(n)}$  во вторых гармониках анализируемых волн достигает максимальных значений



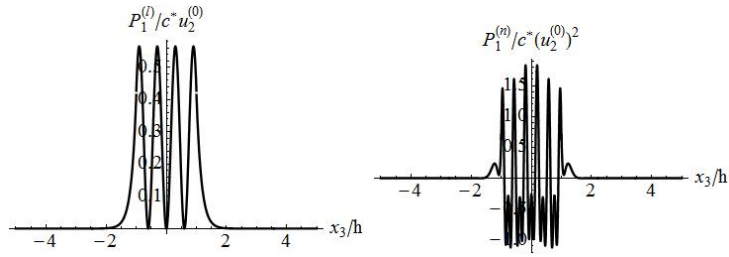


Рис. 9. Распределение нормированных значений  $P_1^{(l)}$ ,  $P_1^{(n)}$  при  $\lambda/h = 1$

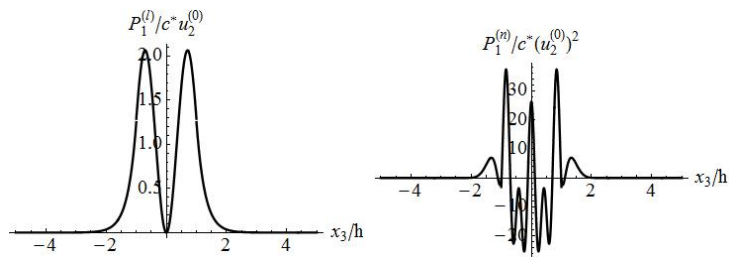


Рис. 10. Распределение нормированных значений  $P_1^{(l)}$ ,  $P_1^{(n)}$  при  $\lambda/h = 2$

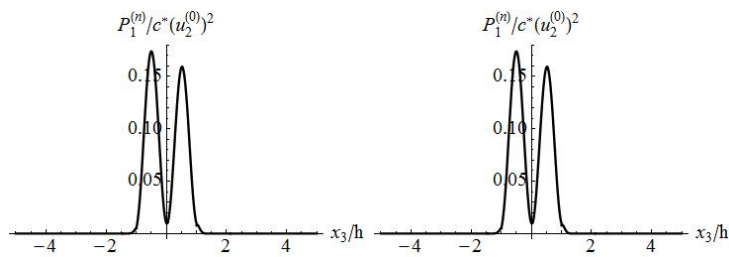


Рис. 11. Распределение нормированных значений  $P_1^{(l)}$ ,  $P_1^{(n)}$  при  $\lambda/h = 1$

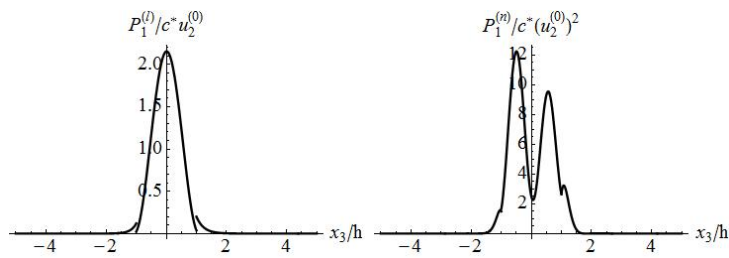


Рис. 12. Распределение нормированных значений  $P_1^{(l)}$ ,  $P_1^{(n)}$  при  $\lambda/h = 2$

в слое  $V_1$ , а также на границе контакта с полупространствами, и увеличивается с ростом относительной длины волны.

1. Зарембо Л.К., Красильников В.А. Нелинейные явления при распространении упругих волн в твердых телах. – УФН. – 1970. – Т.102, вып.4. – С.549-586.
2. Сторожев В.І., Щербак Н.В. Нелінійні другі гармоніки узагальнених хвиль Лява в анізотропному шарі на анізотропному півпросторі // Вісник Донецького університету, Сер.А: Природничі науки. – 2008. – Вип.2 – С.75-80.
3. Сторожев В.І., Щербак Н.В. Энергетические характеристики нелинейных вторых гармоник поверхностных волн Лява в волноводе с кристаллическими компонентами кубической системы. Труды XI Международной конференции "Современные проблемы механики сплошной среды" (Ростов-на-Дону, 26-29 ноября 2007г.) Ростов-на-Дону, 2007. – Т.2. – С.173-177.
4. Storozhev V.I., Shcherbak N.V. Nonlinear anharmonic effects for Love waves in structure "anisotropic layer on the anisotropic halfspace". Works of the second international conference "Nonlinear Dynamics – 2007 Kharkov. – P.283-288.

Ин-т прикл. математики и механики НАН Украины, Донецк  
Донецкий национальный ун-т  
nadinescherbak@gmail.com  
stvi@i.ua

Получено 02.11.09